

# TP-Projet 3: Application de l'ACP: les «Eigenfaces»

Ce projet s'inspire d'un article intitulé Eigenfaces for recognition, écrit par Turk et Pentland et publié dans le Journal of Cognitive Neuroscience en 1991.

# Description des données

Vous disposez de n images de visages d'un ensemble d'individus. Chaque individu est photographié sous le même nombre de postures faciales (gauche, face, trois quart face, etc.). Chacune de ces n images en niveaux de gris est stockée dans une matrice bidimensionnelle de taille  $480 \times 640$ . Ces n images constituent les images d'apprentissage. En les vectorisant, vous pouvez donc représenter ces images par des vecteurs colonnes de  $\mathbb{R}^p$ , où  $p=480 \times 640=307200$  est le nombre de pixels commun à toutes les images. Alors que dans le TP1, chaque pixel d'une image couleur constitue un point de  $\mathbb{R}^3$ , ici c'est chaque image qui constitue un point d'un espace affine  $\mathbb{R}^p$  de dimension très élevée.

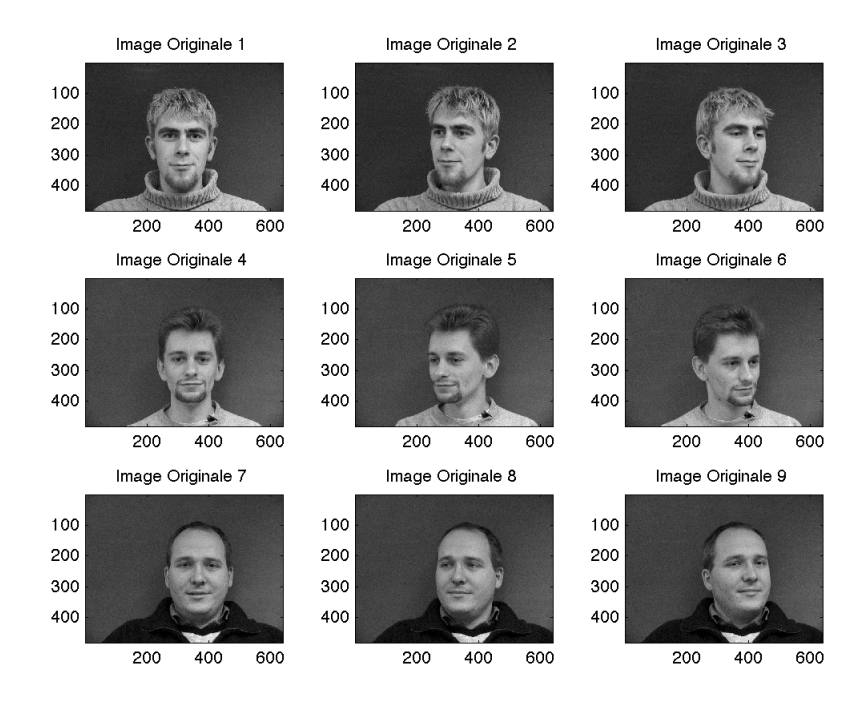


FIGURE 1 – Une base de visages

### Exercice 1 : analyse en composantes principales

La matrice des données X, de taille  $n \times p$ , contient sur chaque ligne la transposée d'une image vectorisée. Lancez le script données ma afin de créer cette matrice et de la stocker dans un fichier au format Matlab, de nom données mat.

Attention, pour le TP, seuls 4 individus sur 37 et 4 postures sur 6 sont sélectionnées pour faire partie de la base d'apprentissage; il faudra bien entendu considérer un plus grande nombre d'individus et de postures pour les tests de performance

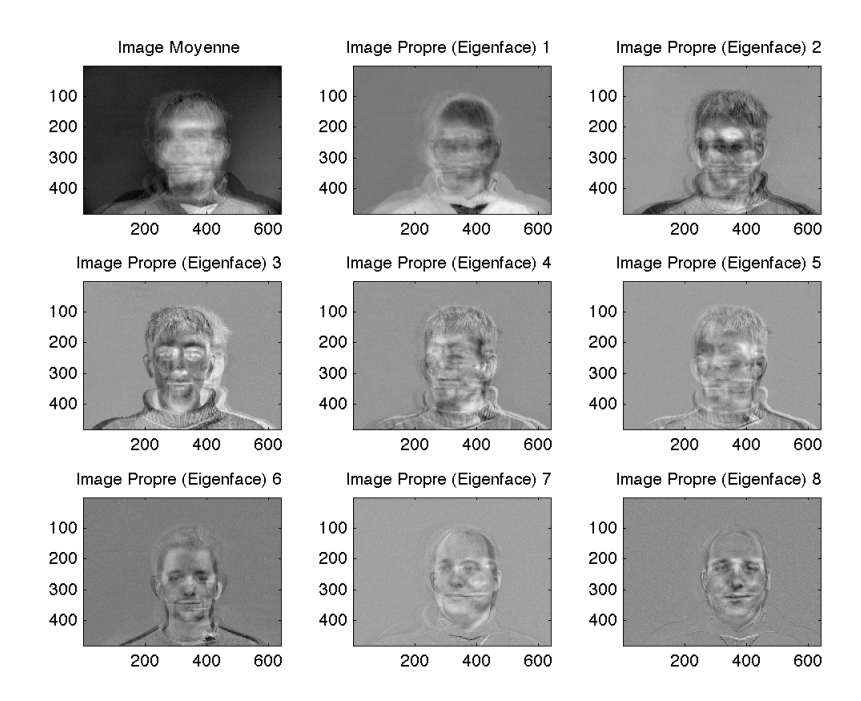


Figure 2 - Les «eigenfaces»

Complétez le script exercice\_1.m, qui vise à calculer les axes principaux des images d'apprentissage à partir des vecteurs propres associés aux n-1 valeurs propres non nulles de la matrice de variance/covariance  $\Sigma$  des données <sup>1</sup>. Ces axes principaux sont appelés eigenfaces par Turk et Pentland, par contraction des mots anglais eigenvectors et faces.

<sup>1</sup>. comme ici on vous demande de calculer toutes les valeurs propres de la matrice (sauf une), le choix d'utiliser la fonction eig va de soi

### Exercice 2: projection des images sur les eigenfaces

Une fois connues les n-1 eigenfaces, on peut calculer les composantes principales. Complétez le script exercice\_2.m, de manière à afficher les images d'apprentissage reconstruites à l'aide des q premières eigenfaces et des q premières composantes principales, pour  $q \in [0, n-1]$ .

Attention: n'oubliez pas d'ajouter l'individu moyen.

Ce script doit également afficher l'évolution, en fonction de q, de la racine carrée de l'erreur quadratique moyenne ( $Root\ Mean\ Square\ Error$ , ou RMSE) entre les images originales et les images ainsi reconstruites.

### Exercice 3 : application à la reconnaissance de visages

Le script clusters.m calcule les composantes principales des n images d'apprentissage, puis affiche sous la forme d'un nuage de n points de  $\mathbb{R}^2$  leurs deux premières composantes principales. Chaque couleur correspond à un même individu de la base d'apprentissage. Ce nuage fait apparaître des groupes de points (ou clusters) de couleur uniforme, ce qui montre que chaque cluster correspond aux différentes postures d'un même individu. Il semble donc possible d'utiliser les eigenfaces pour la reconnaissance de visages (comme l'indique le titre de l'article ayant inspiré ce  $\mathrm{TP}: Eigenfaces \ for\ recognition$ ), en calculant les deux premières composantes principales d'une image, dite  $image\ de\ test$ , n'appartenant pas forcément à la base d'apprentissage, et en cherchant de quelle image d'apprentissage cette image est la plus proche, donc à quel individu elle correspond.

$$\mathbf{x} \in \mathbb{R}^{307200} \to \boxed{\quad \text{Projection Base ACP} \quad } \to \phi(\mathbf{x}) \in \mathbb{R}^{q \ll 307200} \to \boxed{\quad \text{Prédicteur h} \quad } \to h(\mathbf{x})$$

Le script exercice\_3.m tire aléatoirement (à l'aide de la fonction randi de Matlab) une image de test, parmi les 37 personnes et les six postures faciales disponibles dans la base de données.

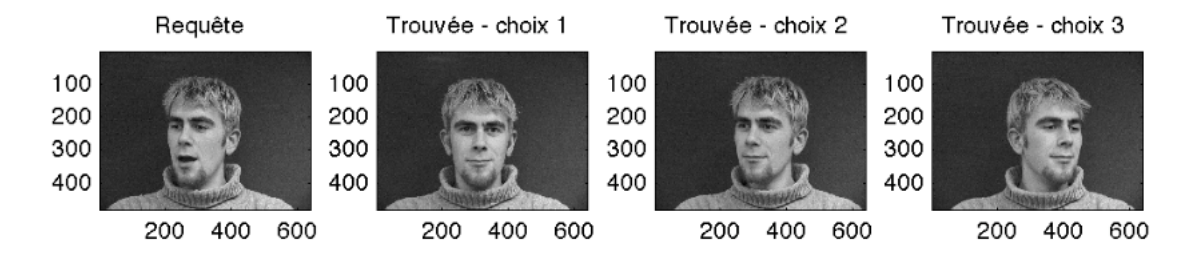


FIGURE 3 – Résultat d'une requête sur une base de visages.

#### Travail en séance

Question 1 : exercice\_1.m complété
Question 2 : exercice\_2.m complété
Question 3 : exercice\_3.m complété

## Questions sur la reconnaissance de visages

#### 1. Evaluation de la reconnaissance :

- Question 4 : Configurez un classifieur (type de classifieur 1ppv, 3ppv ou autre, ... vu en cours) en complétant le script exercice\_3.m.
  - Le classifieur k-ppv a été vu au TP4 d'Analyse de Données.
- **Question 5 :** A partir des résultats obtenus de votre classifieur et des labels des images tests, construisez la matrice de confusion afin d'évaluer la qualité de votre classifieur. Comment optimiser votre classifieur ?

(on pourra notamment regarder le choix du nombre de composantes principales)

#### N'oubliez pas que vous avez à disposition 37 individus et 6 postures

#### 2. Discussion:

- Question 6 : Compte tenu de la quantité de données fournie (nombre et taille des images), quelle est votre préconisation (algorithmique et informatique) pour le calcul des couples propres utiles à cette application?
- **Question 7**: Faut-il utiliser l'implantation cholesky (via eig) ou les algorithmes "subspace iteration"?
  - (vous pouvez é prouver votre implantation Matlab de ces algorithmes dans ce cadre)  $^{2}\,$
- 3. Question 8 supplémentaire : En travaillant sur tout ou partie de la Base d'Apprentissage, discutez de la pertinence (spectrale) de l'introduction de la couleur dans la reconnaissance des visages.

Lancez le script donneesCouleur.m afin de créer cette matrice et de la stocker dans un fichier au format Matlab, de nom donneesCouleur.mat.

<sup>2.</sup> Cette année, vu les conditions et l'obligation du travail à distance, nous avons enlevé l'interfaçage Matlab-Fortran qui permettait d'appeler le code Fortran des approches "subspace iteration" à partir du Matlab.

#### Annexe : Différences importantes avec le TP1 d'analyse de données

- Dans le TP1, la matrice des données centrées X<sub>c</sub> est de taille p × 3, où p désigne le nombre de pixels de l'image RVB. Or, le rang d'une matrice est inférieur à sa plus petite dimension. Comme p ≫ 3, cela signifie que rg(X<sub>c</sub>) ≤ 3. Pour une image naturelle, le coefficient de corrélation linéaire entre les 3 canaux RVB n'est jamais exactement égal à ±1. Cela signifie que les 3 colonnes de X<sub>c</sub> sont linéairement indépendantes, donc que rg(X<sub>c</sub>) = 3 (on dit que X<sub>c</sub> est de rang maximal). Une conséquence de ce résultat est que la matrice de variance/covariance Σ = X<sub>c</sub><sup>⊤</sup>X<sub>c</sub>/p est également de rang 3. Comme elle est de taille 3 × 3, cette matrice est inversible.
- Dans ce TP, la matrice  $X_c$  des données centrées, obtenue en retranchant à chaque ligne de X l'individu moyen  $\overline{X}$  (égal à la moyenne des lignes de X), est de taille  $n \times p$ , où n désigne le nombre d'images et p le nombre de pixels commun à toutes ces images. Comme  $p \gg n$ , on en déduit que  $\operatorname{rg}(X_c) \leqslant n$ . Pour que cette matrice soit de rang maximal, il faudrait que ses n lignes soient linéairement indépendantes. Or, leur somme est égale au vecteur nul, puisque  $\overline{X}$  est égal à la moyenne des n lignes de X. Pour des images naturelles, on en déduit que  $\operatorname{rg}(X_c) = n 1$ . La matrice de variance/covariance  $\Sigma = X_c^\top X_c/n$  est donc elle aussi de rang n 1. Comme elle est de taille  $p \times p$ , et que  $p \gg n$ , cette matrice n'est pas inversible. En l'occurrence, le noyau de  $\Sigma$  est de dimension p n + 1.
- Une autre différence avec le TP1 vient de ce que, dans ce TP, la fonction eig ne peut pas être directement appliquée à  $\Sigma$ . En effet, sa taille  $p \times p$  est gigantesque (p = 307200). Or, pour une matrice M quelconque,  $\mathbf{M}^{\top}\mathbf{M}$  et  $\mathbf{M}\,\mathbf{M}^{\top}$  ont les mêmes valeurs propres non nulles. On peut donc appliquer la fonction eig à  $\Sigma_2 = \mathbf{X}_c \mathbf{X}_c^{\top}/n$ , de taille  $n \times n$  beaucoup plus petite, pour calculer les valeurs propres non nulles de  $\Sigma$ .
- Si Y est un vecteur propre de  $\Sigma_2$  associé à une des n-1 valeurs propres  $\lambda$  non nulles, alors par définition  $(X_c X_c^\top/n) Y = \lambda Y$ , d'où  $(X_c^\top X_c/n) X_c^\top Y = \lambda X_c^\top Y$ . D'autre part,  $X_c^\top Y$  est un vecteur non nul : sinon, cela impliquerait que le vecteur  $\lambda Y$  est nul, ce qui est impossible puisque  $\lambda \neq 0$  par hypothèse et que, étant un vecteur propre, Y ne peut pas être un vecteur nul. Par conséquent,  $X_c^\top Y$  est un vecteur propre de  $\Sigma = X_c^\top X_c/n$  associé à la valeur propre  $\lambda$ . Il est facile de montrer que les n-1 vecteurs  $X_c^\top Y$  sont orthogonaux deux à deux. En les normalisant, on obtient donc une base orthonormée  $\mathcal{B}$  de  $\mathrm{Im}(\Sigma)$ .